

## دقت گوشه‌های کوچک-شعاع در برش چند مرحله‌ای در وايرکات: پارامترهای خشن کاري و تحليل هندسي برش

حميد آبيار فيروزآبادی<sup>۱</sup>، جمشيد پرويزيان<sup>۲\*</sup>، امير عبدالله<sup>۳</sup>، اسماعيل غديری زهراني<sup>۴</sup>

- ۱- مرعي هندسي مکانیک، دانشگاه يزد
  - ۲- دانشيار هندسي مکانیک، دانشگاه صنعتي اصفهان
  - ۳- دانشيار هندسي مکانیک، دانشگاه صنعتي اميركبير
  - ۴- دانش آموخته کارشناسی ارشد هندسي مکانیک، دانشگاه صنعتي خواجه نصیرالدین طوسى
- \* اصفهان، کد پستي ۸۴۱۵۶۸۳۱۱۱، japa@cc.iut.ac.ir

**چکیده-** اهميت ماشين کاري تخلیه الکترونیکی سیمی (وايرکات) در توانایي ماشین کاري مواد سخت و شکل های پیچیده است. با اين حال، يکی از مهمترین مشکلات اين فرایند خطای ماشین کاري گوشه و شعاع گوشه است. اين تحقیق خطای شعاع گوشه محاسبه در يك برش متوالي (شامل يك مرحله خشن و دو مرحله پرداخت) وايرکات را بررسی كرده است. طراحی آزمایشها بر اساس فرکانس تخلیه و سرعت پیشروی مرحله خشن کاري به روش فاكتوریل كامل انجام و بار باقیمانده روی مسیر مستقيم و قوس گوشه به عنوان پارامترهای خروجی در نظر گرفته شده‌اند. نتایج حاکی از تأثیر قابل توجه بهینه‌سازی اين پارامترها روی کنترل بار باقیمانده در مسیر مستقيم در مقایسه با مسیر قوس گوشه‌اند. از دیگر نتایج اين است که خشن کاري مؤثرین مرحله برش است و به وسیله بهینه‌سازی پارامترهای وايرکات نمی‌توان خطای شعاع گوشه را به طور كامل حذف کرد. در ادامه، شعاع گوشه مقعر ایجاد شده در برش‌های متوالي (خشن و دو پرداخت) و اثر زاويه و شعاع گوشه و خطای شعاع در زاويه مختلف گوشه مطالعه شده است. تحليل داده‌های بهدست آمده نشان می‌دهد که تأثیر بار باقیمانده بر خطای شعاع گوشه با افزایش زاويه گوشه افزایش می‌يابد. يك رویکرد مؤثر به منظور بهبود دقت ماشین کاري شعاع گوشه مقعر برای برش پرداخت ارائه شده است. نتيجه مهم اين است که در يك گوشه کوچک-شعاع مقعر، برای دستیابي به دقت مناسب، طول قوس پیموده شده باید تا حد امکان افزایش يابد.

**کلیدواژگان:** ماشین کاري وايرکات، دقت ابعادي گوشه، شعاع گوشه، ماده باقیمانده.

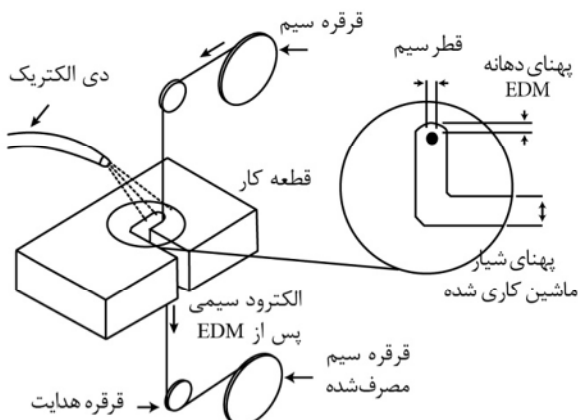
## Accuracy of small radius corners in multi stage WEDM: Roughing parameters and geometrical analysis

H. Abyar Firouzabadi<sup>1</sup>, J. Parvizian<sup>2\*</sup>, A. Abdullah<sup>3</sup>, E. Ghadiri Zahran<sup>4</sup>

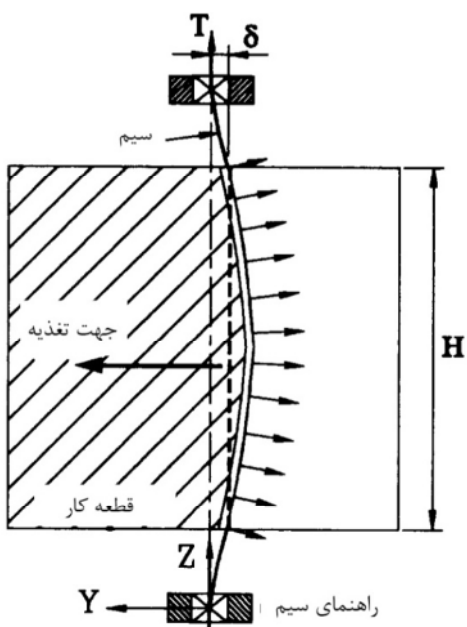
- 1- Faculty Candidate, Mech. Eng., Yazd Univ., Yazd, Iran  
 2- Assoc. Prof., Mech. Eng., Isfahan Univ. of Tech., Isfahan, Iran  
 3- Assoc. Prof., Mech. Eng., AmirKabir Univ. of Tech., Tehran, Iran  
 4- MSc. Graduate, Mech. Eng., K. N. Toosi Univ. of Tech., Tehran, Iran  
 \* P.O.B. 8415683111 Isfahan, Iran. japa@cc.iut.ac.ir

**Abstract-** Wire electrical discharge machining (wire-EDM) has a significant position among production technologies mainly due to its capacity of machining hard materials and intricate shapes. One of the major problems with this process is the error in cutting corners. Processing forces acting on the wire and low rigidity of the wire are responsible for wire deformation, which has a direct influence on the accuracy of the corner cutting. In this research, investigation is focused on the convex corner radii errors and alternative solutions are proposed for the case of successive cuts (one roughing and two finishings). Experiments are carried out for roughing operation by considering frequency of discharges and feed speed. The residual materials on straight and curved paths are the output parameters. Results indicate that optimization of these parameters have a better influence for control of residual material thickness on straight paths than on curved corners. One important conclusion is that roughing is the most influential stage of cutting by WEDM. Then, concave corner radii produced during successive cuts, the effect of corner angle and corner radii are investigated. Errors at radii of different corner angles are identified and related to arc length and residual material thickness in the curved corner. Finally, an effective approach is presented for improving the accuracy of the small-radius concave corner radii of finishing stage. The main conclusion is that to achieve accurate corner radii, one must increase the traversed corner arc length by wire in the small-radius concave corner radii.

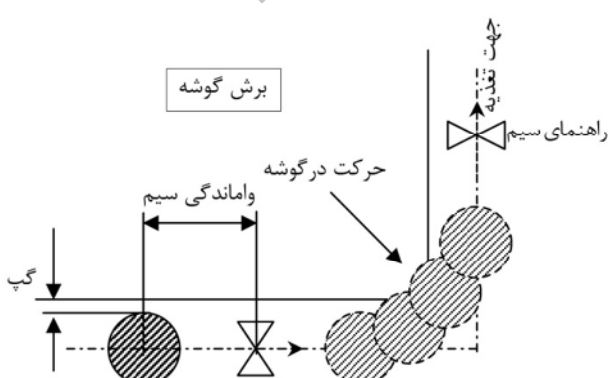
**Keywords:** WEDM, Dimensional Accuracy of Corner, Corner Radii, Residual Material.



شکل ۱ نمایی از برش وایرکات [۱]



شکل ۲ نمایی از خیز سیم [۲]



شکل ۳ واماندگی سیم در برش گوشه‌ها [۳]

## ۱- مقدمه

وایرکات یک تکنیک ماشینکاری غیرتماسی است که عمل باربرداری را مستقل از سختی ماده و بر اساس تخلیه الکتریکی بین الکترود سیمی و قطعه کار هادی انجام می‌دهد (شکل ۱). این فرایند یک روش مناسب برای ساخت قالب‌ها و قطعات صنعتی محسوب می‌شود چرا که کیفیت سطحی مطلوب و دقتهای قابل قبول ایجاد می‌کند. بنابراین، هر تلاشی جهت افزایش دقتهای این فرایند ممکن است گامی بزرگ در تولید قطعات دقیق و پیچیده صنعتی باشد.

در فرایند وایرکات دقتهای ابعادی و هندسی به عوامل زیادی از جمله وضعیت دینامیکی و استاتیکی ماشین، سیم، دیالکتریک و پارامترهای جرقه بستگی دارد. با وجود دقتهای بسیار بالای سیستم‌های کنترل، دستیابی به دقتهای میکرونی در این فرایند کاری سخت و مشکل است چرا که به دلیل انعطاف‌پذیری سیم و نیروهای فرآیندی، همواره امکان انحراف سیم از مسیر برنامه‌ریزی شده وجود دارد.

در ماشینکاری به وسیله وایرکات در اثر عملیات باربرداری، نیروهای الکترواستاتیک، الکترومگنتیک، الکترودینامیک و فشار دیالکتریک بر سیم وارد شده و منجر به ارتعاش و خم شدن آن می‌شوند (شکل ۲). در برش گوشه‌های تیز و گوشه‌های کوچک - شعاع<sup>۱</sup> به دلیل عقب‌افتادگی سیم از مسیر کنترل عددی همواره خطای ماشینکاری وجود دارد (شکل ۳).

در گوشه‌های محدب<sup>۲</sup> (بر) رأس گوشه در اثر این پدیده و همچنین تمرکز حرارتی ایجاد شده، برداشته می‌شود. در گوشه‌های مقعر<sup>۳</sup> (ماده) سیم قبل از رسیدن به رأس گوشه، مسیر را می‌بیناید و در نتیجه مقداری ماده در رأس گوشه باقی ماند. خطای ماشینکاری گوشه‌ها و انحنایها در وایرکات توسط محققان مختلف مورد توجه قرار گرفته است. این محققان با کنترل پارامترهای ماشین و تغییر مسیر (جابجایی مسیر) سعی کرده‌اند تا میزان انحراف سیم از مسیر برنامه‌ریزی شده را کاهش و در نتیجه بی‌دقتهی برش گوشه‌ها را کاهش دهند.

از میان اولین تحقیقات پیرامون خطای ماشینکاری گوشه‌ها می‌توان به تحقیقات دکسر و استنیز (۱۹۸۹) اشاره کرد.

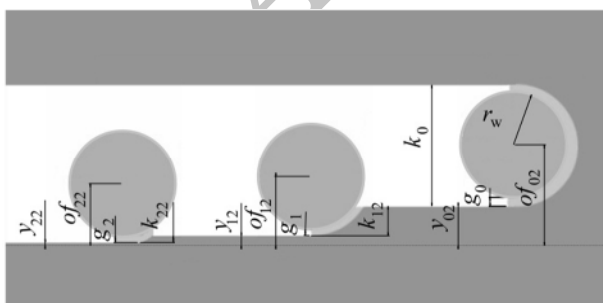
1. Small-Radius Corner
2. Wire Lag
3. Convex Corner
4. Concave Corner

این پارامترها می‌توانند دستیابی به گوشه‌های دقیق را ممکن سازد. گوشه‌ها بر شکل هندسی به گوشه‌های تیز<sup>۵</sup>، گوشه‌های بزرگ-شعاع<sup>۶</sup> و گوشه‌های کوچک-شعاع<sup>۷</sup> تقسیم می‌شوند<sup>[۶]</sup>. اهمیت گوشه‌های کوچک-شعاع ناشی از کاربردهای زیاد آنها است. در تحقیق حاضر، اول تأثیر پارامترهای ماشین کاری روی بار باقی‌مانده مسیر مستقیم،  $\zeta_1^{\text{st}}$ ، و قوس محدب گوشه،  $\zeta_2^{\text{cr}}$ ، تجزیه و تحلیل شده است. سپس در بخش دوم، خطای ابعادی در گوشه‌های کوچک-شعاع معتبر بررسی شده، روشی برای کاهش خطای روى قوس گوشه پیشنهاد شده است.

٢- تحلیل برش

به کمک برش چند مرحله‌ای وایرکات می‌توان به زبری سطح  
کمتر از میکرون در کل مسیر برش و دقت ابعادی در حد یک  
میکرون در روی مسیرهای مستقیم (البته با تغییر افست) دست  
یافت. اما در روی قوس‌ها و انحنای خطاوی ابعادی نسبتاً زیاد  
است. فاصله مرکز سیم از مسیر برنامه‌ریزی، افست نامیده  
می‌شود. برای یک برش سه مرحله‌ای، تحقیق حاضر تأثیر  
پارامترهای فرکانس تخلیه و سرعت پیشروی مرحله خشن‌کاری  
روی دقت برش مسیر مستقیم و شعاع محدب گوشه را بررسی  
می‌کند. همچنین خطاوی ابعادی قوس مقعر گوشه و تأثیر تغییر  
زاویه گوشه و بار باقی‌مانده بر شعاع واقعی قوس مطالعه، برای  
افاشت دقت سنتهاده، ارائه شده است.

شکل ۴ یک برش سه مرحله‌ای واپرکات در روی مسیر مستقیم و شکل ۵ یک برش سه مرحله‌ای روی قوس محدب گوشه را نشان می‌دهد.



شکل ۴ نمایی از برش سه مرحله‌ای واپرکات در روی مسیر مستقیم

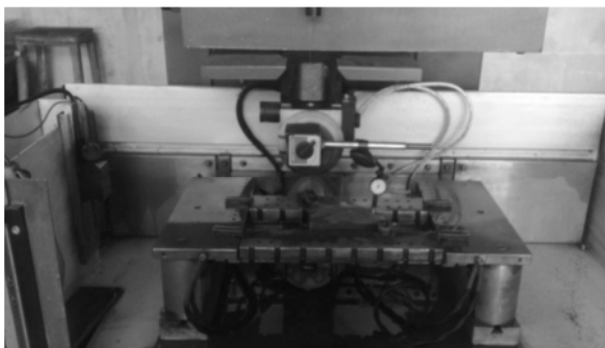
- 5. Sharp Corner
  - 6. Large-Radius Corner
  - 7. Small-Radius Corner

ایشان سه عامل واماندگی سیم<sup>۱</sup>، افزایش ارتعاشات سیم<sup>۲</sup> و افزایش احتمال تخلیه الکتریکی<sup>۳</sup> را علل اصلی خطای ماشین کاری گوشده‌های تیز معرفی کرده‌اند [۴]. برخی دیگر تلاش کرده‌اند تا با تغییر شرایط ماشین کاری نظیر زمان خاموشی پالس و توان<sup>۴</sup> خیز سیم را کاهش و دقت ماشین کاری را افزایش دهند [۵، ۶]. عیب اصلی این روش‌ها، طولانی کردن زمان ماشین کاری است.

اوبارا و همکاران یک روش ترکیبی کنترل توان و کنترل مسیر برای بهبود دقت گوشه‌ها در خشن‌کاری واپرکات پیشنهاد کردند [۶]. در این روش از کنترل توان برای کاهش خیز سیم و از اصلاح مسیر برای جبران خطأ استفاده شده است. بنا بر نظر نویسنده‌گان، در میان روش‌های ماشین‌کاری گوشه، این روش کمترین زمان ماشین‌کاری را دارد. در مطالعه‌ای دیگر، انواع کنترل برای کاهش زمان ماشین‌کاری در گوشه بررسی شده، در نهایت کنترل زمان خاموشی پالس با کنترل ولتاژ سرو و روش اصلاح مسیر ترکیب شده است [۷]. به کمک یک سیستم جامع کامپیوتری و تلفیقی از یافته‌های تجربی و شبیه‌سازی عددی، خطای ماشین‌کاری پیش‌بینی و برای بهینه‌سازی دقت گوشه‌ها مسیر سیم اصلاح شد [۸]. تأثیر تغییر شکل و موقعیت سیم روی دقت برش گوشه‌ها همواره مورد توجه بوده است [۹]. گام بعدی توجه به تأثیر خطاهای ایجاد شده در برش‌های پیشین روی دقت نهایی در برش‌های متوالی (خشن و پرداخت) بود [۳]. در تلاشی دیگر، رابطه میان مسیر واقعی سیم و مسیر NC در خشن‌کاری گوشه‌های تیز شبیه‌سازی شد تا امکان پیش‌بینی مسیر واقعی سیم فراهم آید [۱۰]. بر نقش افزایش کشش سیم، در بهبود دقت شعاع گوشه تأکید شده است چرا که با افزایش کشش خیز سیم کاهش می‌یابد و اختلاف بین شعاع گوشه در صفحات میانی و انتهایی قطعه کم می‌شود [۱۱]. دقت ماشین‌کاری گوشه‌ها در ورق‌های نازک و تأثیر نیروی الکترومغناطیس روی آنها نیز مورد توجه قرار گرفته است [۱۲].

همان طور که اشاره شد بهبود دقت برش گوشه‌ها بستگی زیادی به پارامترهای ماشین‌کاری دارد. بنابراین انتخاب صحیح

1. Wire Lag
  2. Enhanced Wire Vibrations
  3. Enhanced Discharge Probability
  4. Power



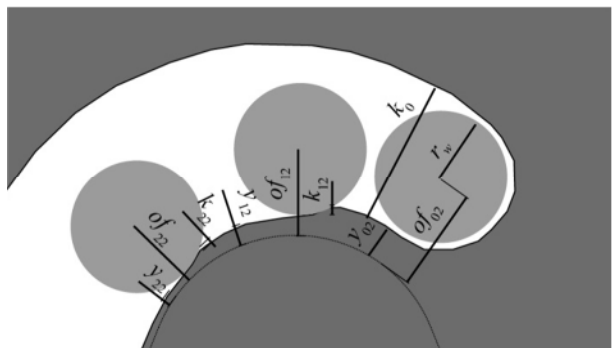
شکل ۶ نمایی از تنظیم، دستگاه و شرایط عملیاتی ماشین‌کاری

با در نظر گرفتن حداقل فاصله کلگی‌های بالا و پایین ماشین تا سطح بالا و پایین قطعه‌کار، نمونه‌ها مطابق آزمایش‌های طراحی شده، بریده شدند. در حین انجام آزمایش‌ها سعی شد که شرایط محیطی پایدار و ثابت بماند.

در فرایند تخلیه الکتریکی با تغییر پارامترهای جرقه، اندازه گپ جرقه تغییر می‌کند بنابراین با کنترل گپ جرقه می‌توان مقدار بار باقی‌مانده در روی مسیر مستقیم و قوس گوشه را کنترل نمود. در ماشین وايرکات تنظیمات برش و همچنین مقادیر افست برای مراحل مختلف برش به وسیله سازنده ماشین پیشنهاد می‌گردد. این مقادیر بسته به ضخامت و جنس قطعه‌کار و سیم تغییر می‌کنند. جدول ۱ تنظیمات پیشنهادی سازنده برای برش سه مرحله‌ای با ماشین مورد آزمایش برای فولاد به ضخامت ۱۰ میلی‌متر را نشان می‌دهد.

#### ۴- دقت برش و پارامترهای خشن‌کاری

در این قسمت با انجام آزمایش‌های طراحی شده و تحلیل آماری نتایج، تأثیر پارامترهای خشن‌کاری روی بار باقی‌مانده در روی مسیر مستقیم و قوس محدب گوشه بررسی شده است. با مطالعه منابع و بررسی قابلیت‌های ماشین وايرکات به نظر می‌رسد که پارامترهای فرکانس تخلیه و سرعت پیشروی می‌توانند بیشترین تأثیر را بر میزان بار باقی‌مانده در فرایند وايرکات داشته باشند چرا که با کنترل مقدار فرکانس تخلیه و سرعت پیشروی سیم می‌توان چگالی اصابت جرقه بر سطح جانبی شیار برش (تعداد جرقه بر واحد سطح) و در نتیجه میزان بار باقی‌مانده را کنترل نمود. بنابراین این پارامترها در سه سطح بررسی شدند و برای تعیین سطوح آنها از کاتالوگ شرکت سازنده دستگاه مورد نظر (جدول ۱) کمک گرفته شد [۱۴]. جدول ۲ سطوح مختلف این پارامترها را نشان می‌دهد.



شکل ۵ نمایی از برش سه مرحله‌ای وايرکات در روی قوس محدب

برای ایجاد برش دقیق و دستیابی به شکل هندسی مطلوب در یک برش سه مرحله‌ای وايرکات، باید بار باقی‌مانده بعد از مرحله سوم،  $y_{22}$ ، در کل مسیر صفر شود. معمولاً در برش‌هایی که به کمک تنظیمات پیشنهادی سازنده ماشین وايرکات انجام می‌شوند مقادیر پارامتر فوق همه جا برابر صفر نمی‌شود و خطای ناشی از اضافه بار برداشت شده یا بار باقی‌مانده وجود دارد.

اگر  $y_{22}$  در روی مسیر مستقیم با  $y_2^st$  و در روی قوس با  $y_2^{cr}$  نشان داده شود برای امکان حذف خطای ماشین‌کاری باید رابطه (۱) برقرار باشد.

$$y_2^{cr} = y_2^{st} \quad (1)$$

در ماشین‌کاری به وسیله وايرکات معمولاً رابطه (۱) برقرار نبوده، برای یک قوس محدب  $y_2^{cr} < y_2^{st}$  و برای یک قوس مکعب  $y_2^{cr} > y_2^{st}$  است.

#### ۳- مواد و شرایط انجام آزمایش‌ها

در این تحقیق آزمایش‌ها بر روی نمونه‌های فولادی به ابعاد  $(54 \times 49 \times 9)$  میلی‌متر از جنس ۱۰/۲۵۱۰ (فولادی پرکاربرد در صنعت قالب‌سازی و ابزارسازی) انجام شدند. برای آماده‌سازی نمونه‌ها، پس از فرزکاری، طبق استاندارد ASM [۱۳] و سپس کلیه سطوح آنها با دقیقه سنگزده شدند. برای جلوگیری از ایجاد تنش پسماند، عملیات سنگزنی با بار کم و مایع خنک‌کاری زیاد انجام گرفت.

نمونه‌ها بعد از آماده‌سازی مطابق شکل ۶ با استفاده از ساعت میکرونی روی میز ماشین وايرکات تنظیم و بسته شدند. همه آزمایش‌های این تحقیق به وسیله ماشین وايرکات شارمیلز<sup>۱</sup> با سیم Sw25X (با قطر ۰/۲۵ میلی‌متر) انجام شدند. سیم مورد استفاده همان سیم پیش نهادی سازنده در کاتالوگ ماشین بود.

1. Charmilles Robofil 200

جدول ۱ مقادیر پیشنهادی سازنده برای پارامترهای واپرکات در ماشین کاری سه مرحله‌ای برای فولاد به ضخامت ۱۰ میلی‌متر [۱۴]

نام پارامتر	نشانه پارامتر	مقدار خشن کاری	مقدار پرداخت اول	مقدار پرداخت دوم
مولد	$M$	-	-	-
خازن	$C$	$\frac{3}{2} \mu\text{F}$	.	.
ولتاژ مدار باز	$V$	۱۲۰۷ سیم قطب منفی	۱۲۰۷ سیم قطب منفی	۱۲۰۷ سیم قطب منفی
جریان تخلیه	$P$	۳۲A	۱۶A	۸A
زمان روشنی پالس	$A$	$6/4 \mu\text{s}$	$1/6 \mu\text{s}$	$0/8 \mu\text{s}$
کشش سیم	$w_b$	۱۰N	۱۲N	۱۲N
سرعت سیم	$w_s$	۶m/min	۶m/min	۶m/min
ولتاژ گپ	$Aj$	۵۰ درصد ولتاژ مدار باز	۳۵ درصد ولتاژ مدار باز	۳۳ درصد ولتاژ مدار باز
سرعت پیشروی	$S$	$6/14 \text{mm/min}$	$29/28 \text{mm/min}$	$21/96 \text{mm/min}$
فرکانس تخلیه	$f$	۱۸kHz	۱۲۵kHz	۲۰۰kHz

شرایط اتاق تمیز با ابعاد گیج بلوك‌های مبنا مقایسه و میزان بار باقی‌مانده در روی قسمت‌های مختلف آن ( $y_2^{\text{cr}}$  و  $y_2^{\text{st}}$ ) مطابق

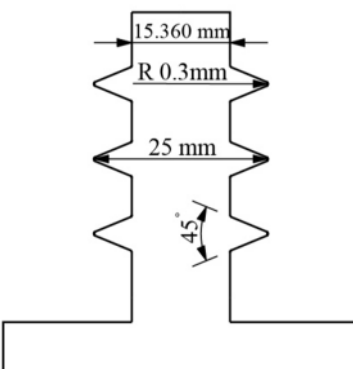
جدول ۳ استخراج شد.

هرگاه متغیرهای مؤثر بر خروجی یک فرآیند مشخص باشند به کمک روش طراحی آزمایش و تحلیل رگرسیون می‌توان رابطه بین این متغیرها و خروجی را توضیح داد. روش طراحی آزمایش مجموعه روش‌های ریاضی و آماری است که برای مدل‌سازی و تحلیل مسایل استفاده می‌شود که در آنها هدف بهینه‌سازی پاسخ دلخواه با چندین ورودی متغیر مستقل باشد [۱۵]. در این تحقیق از روش طراحی آزمایش فاکتوریل کامل استفاده شده است. روش فاکتوریل کامل برای تعیین ارتباط بین پارامترهای متغیر فرایند و تغییرات دلخواه (مطلوب) پاسخ‌ها و همچنین یافتن پارامترهای مؤثر فرایند روی پاسخ‌های به هم پیوسته استفاده می‌شود. این روش یک استراتژی آزمایش متوالی برای ایجاد یا بهینه کردن مدل تجربی است. در این روش با استفاده از آزمایش و تحلیل رگرسیون، مدلی از پاسخ دلخواه با چندین ورودی متغیر مستقل حاصل می‌شود. به علاوه این روش یکی از روش‌هایی است که به طور گسترده برای حل مسایل بهینه‌سازی در زمینه ساخت و تولید، نظریه توسعه سیستم مانیتورینگ ابزار برشی [۱۶]، پیش‌بینی نرخ باربرداری و نرخ سایش ابزار در فرایند تخلیه الکتریکی [۱۷] و بررسی دما و انرژی مخصوص در فرایند EDDG<sup>۲</sup> [۱۸]، به کار گرفته شده است.

جدول ۲ پارامترهای متغیر در مرحله خشن کاری

پارامترها	مقادیر پارامترها
$(\text{kHz}) f$	۱۸
$(\text{mm/min}) S$	$13/29/28$
$7/7/32$	$7/18/3$

در این قسمت، نخست طبق آزمایش‌های طراحی شده، سطوح مختلف پارامترهای متغیر در مرحله خشن کاری آزموده شدند. سپس پرداخت اول و دوم اجرا شدند. در این آزمایش‌ها، مسیر برش به صورت متقاضن مطابق شکل ۷ به گونه‌ای برنامه‌نویسی شد که پهنه‌ای قطعه در روی مسیر مستقیم برابر  $15/360$  و روی قوس گوشه برابر  $25$  میلی‌متر و شعاع قوس برابر  $300$  میکرون باشد.



شکل ۷ شکل هندسی قطعات برش خورده در این بخش

پس از برش قطعه، این ابعاد به وسیله کمپیاتور مکانیکی<sup>۱</sup> در

جدول ۳ نتایج حاصل از بررسی پارامترها در مرحله خشن

ردیف	فرکانس تخلیه (kHz) $f$	سرعت پیشروی (mm/min) $S$	آزمایش اول $y_2^{\text{st}} (\mu\text{m})$	آزمایش دوم $y_2^{\text{st}} (\mu\text{m})$	آزمایش اول $y_2^{\text{cr}} (\mu\text{m})$	آزمایش دوم $y_2^{\text{cr}} (\mu\text{m})$	آزمایش دوم $y_2^{\text{cr}} (\mu\text{m})$
۱	۷	۷/۳۲	۴	۵	-۸	-۷/۵	-۷/۵
۲	۷	۱۸/۳	۶/۵	۶	-۸	-۸	-۷/۵
۳	۷	۲۹/۲۸	۴/۵	۵	-۷	-۷/۵	-۷
۴	۱۳	۷/۳۲	۳/۵	۴/۵	-۸	-۸	-۸
۵	۱۳	۱۸/۳	۶/۵	۶/۵	-۷/۵	-۷	-۷
۶	۱۳	۲۹/۲۸	۶	۵/۵	-۷	-۶	-۹
۷	۱۸	۷/۳۲	۴	۳/۵	-۸	-۸	-۹
۸	۱۸	۱۸/۳	۴	۳/۵	-۸/۵	-۸	-۸/۵
۹	۱۸	۲۹/۲۸	۴/۵	۵/۵	-۸	-۸/۵	-۸

شرط مستقل بودن مقادیر باقیمانده به خوبی رعایت شده است. نمودار احتمال نرمال برای پاسخ  $\ln y_2^{\text{st}}$  دلالت بر نرمال بودن توزیع مقادیر باقیمانده دارد. جدول ۴ نشان می‌دهد که با سطح اطمینان ۹۵ درصد ( $P \leq 0.05$ )، هر دو پارامتر فرکانس و سرعت پیشروی و اثر متقابل آنها معنی‌دار و به عنوان اثرات بحرانی و مهم فرآیند هستند. معادله رگرسیونی ۲ ارتباط این پارامترها و اثر متقابل آنها با خروجی  $\ln y_2^{\text{st}}$  را نشان می‌دهد.

$$\ln y_2^{\text{st}} = 1.8354 - 0.03662f - 0.0118S + 0.007192f \times S \quad (2)$$

ضرایب مدل رگرسیون (۲) در جدول ۵ و تحلیل واریانس این معادله در جدول ۶ نشان داده شده‌اند. نمودار اثرات اصلی پارامترهای فرکانس و سرعت پیشروی در شکل ۹، مشخص می‌کند که تغییر سطوح این پارامترها بر روی خروجی  $\ln y_2^{\text{st}}$  مؤثر است و ماکریم مقدار خروجی در سطح فرکانس ۱۳ کیلوهرتز و سرعت پیشروی  $18/3$  میلی‌متر بر دقیقه رخ می‌دهد. در این نمودار بازه فرکانس ۷ تا ۱۳ کیلوهرتز نسبت به بازه ۱۳ تا ۱۸ کیلوهرتز و بازه سرعت پیشروی  $\text{mm/min}$  ۷/۳۲-۱۸/۳ تا ۱۸/۳-۲۹/۲۸ نسبت به بازه  $\text{mm/min}$  ۱۸/۳-۲۹/۲۸ خروجی بیشتر و نوسان کمتر را نشان می‌دهد.

#### ۲-۴- تحلیل بار باقیمانده روی قوس گوشه برای پارامترهای مرحله خشن کاری

تحلیل پاسخ  $y_2^{\text{cr}}$  و رسم نمودار احتمال نرمال آن مشخص کرد توزیع مقادیر باقیمانده آزمایش نرمال نیست. روش تبدیل داده‌ها نشان داد استفاده از لگاریتم طبیعی نمایش بهتری را ممکن می‌سازد. با توجه به اینکه همه مقادیر پاسخ  $y_2^{\text{cr}}$  منفی بودند به جای پاسخ  $y_2^{\text{cr}}$ ، پاسخ  $\ln(-y_2^{\text{cr}})$  تحلیل شد.

افزون بر همه اینها، طرح انتخابی دارای این مزیت است که می‌تواند تمام حالات ممکن را پوشش دهد. در این تحقیق برای تحلیل داده‌ها و رسم نمودارها از نرم‌افزار آماری مینی تب<sup>۱</sup> استفاده شده است.

#### ۴-۱- تحلیل بار باقیمانده روی مسیر مستقیم برای پارامترهای مرحله خشن کاری

تجزیه و تحلیل پاسخ  $y_2^{\text{st}}$  و رسم نمودار احتمال نرمال آن نشان داد که توزیع مقادیر باقیمانده آزمایش نرمال نیست. از آنجا که لازمه تحلیل واریانس، نرمال بودن توزیع مقادیر باقیمانده آزمایش است از روش تبدیل<sup>۲</sup> داده‌ها برای نرمال کردن توزیع مقادیر باقیمانده استفاده شد. این روش نشان داد که استفاده از تغییر متغیر لگاریتم طبیعی بهترین نتیجه را می‌دهد. در نتیجه به جای پاسخ  $y_2^{\text{st}}$ ، پاسخ  $\ln y_2^{\text{st}}$  تجزیه و تحلیل شد.

جدول ۴، تحلیل واریانس به دست آمده برای پاسخ  $\ln y_2^{\text{st}}$  با سطح اطمینان<sup>۳</sup> ۹۵ درصد را نشان می‌دهد.  $R^2$  معیاری برای تعیین تغییرپذیری در مقدار خروجی است. به طور کلی هر چه مقدار  $R^2$  بزرگ‌تر باشد، تحلیل انجام شده دقیق‌تر و قابل اطمینان‌تر است. از شاخص‌های ارزیابی یک مدل، آزمون مستقل بودن مقادیر باقیمانده با استفاده از نمودار مقادیر باقیمانده در برابر مقادیر برازش شده<sup>۴</sup> است [۱۵].

نمودارهای شکل ۸ نشان می‌دهند مقادیر باقیمانده به طور تصادفی توزیع شده و از روند خاصی پیروی نمی‌کنند و در نتیجه

1. Minitab® 15.1.0.0.

2. Transformation

3. Confidence Level

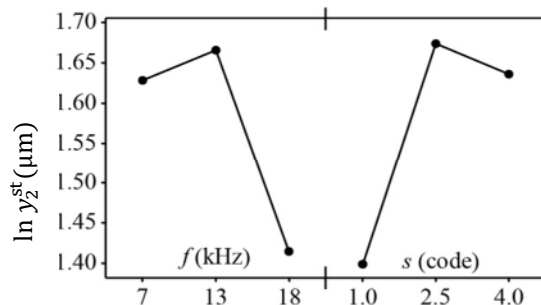
4. Fitted Value

جدول ۴ تحلیل واریانس (ANOVA) برای پاسخ  $\ln y_2^{\text{st}}$ 

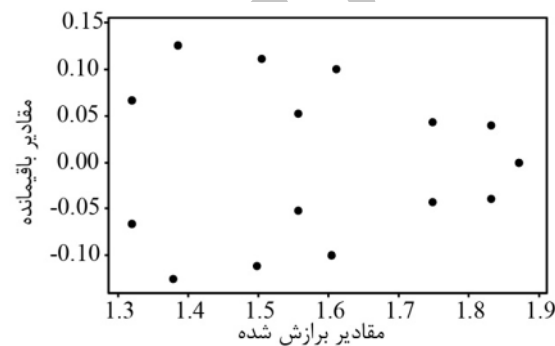
P	F	Adj MS	Adj SS	Sq SS	DF	نام پارامتر
مقدار احتمال	مقدار آماره F	میانگین مربعات تصحیح شده	مجموع مربعات تصحیح شده	مجموع مربعات دنباله‌ای	درجه آزادی	
.0006	9/31	.011066	.022132	.022132	2	فرکانس تخلیه f
.0004	11/28	.013406	.026813	.026813	2	سرعت پیشروی S
.0023	4/85	.005777	.02308	.02308	4	فرکانس تخلیه f × سرعت پیشروی S
		.001189	.010698	.010698	9	خطا
				.082723	17	مجموع

$$R^2(\text{adj}) = .75/57$$

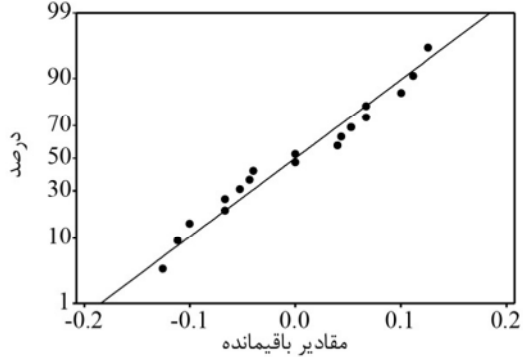
$$R^2 = .87/07$$



شکل ۹ نمودار تأثیر تغییر پارامترهای فرکانس و سرعت پیشروی بر روی پاسخ  $\ln y_2^{\text{st}}$



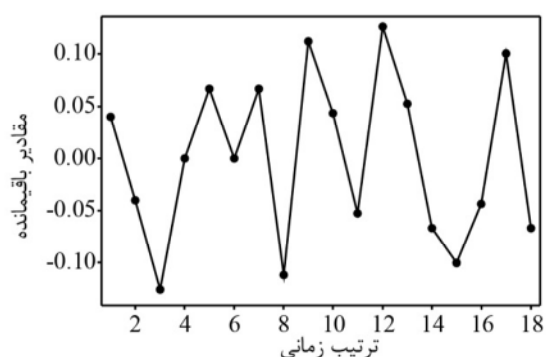
الف - مقادیر باقیمانده در برابر مقادیر برآورد شده برای  $\ln y_2^{\text{st}}$



ب - نمودار احتمال نرمال برای پاسخ  $\ln y_2^{\text{st}}$

جدول ۶ تحلیل واریانس مدل رگرسیون برای پاسخ  $\ln y_2^{\text{st}}$ 

P	T	خطای استاندارد	ضریب	نام پارامتر
		ضریب		
.0000	6/05	.03035	1/8354	مقدار ثابت
.0127	-1/62	.02258	-.03662	فرکانس تخلیه f
.0915	-0/11	.0109	-.01118	سرعت پیشروی S
.039	.0/89	.0008111	.0007192	فرکانس تخلیه f × سرعت پیشروی S



ج - نمودار ترتیب زمانی مقادیر باقیمانده برای پاسخ  $\ln y_2^{\text{st}}$

شکل 8 نمودارهای فرض نرمال برای پاسخ  $\ln y_2^{\text{st}}$

روش تبدیل داده‌ها نشان داد استفاده از لگاریتم طبیعی نمایش بهتری را ممکن می‌سازد. با توجه به اینکه همه مقادیر پاسخ  $y_2^{\text{cr}}$

نمودار مشخص می‌کند که در سطح فرکانس ۱۳ کیلوهرتز و سرعت پیشروی  $29/28 \text{ mm/min}$ ، بار باقی‌مانده بیشتری در روی قوس گوشه ایجاد شده است.

با توجه به نمودارها و نتایج به دست آمده از مطالعه تأثیر پارامترهای فرکانس و سرعت پیشروی بر بار باقی‌مانده روی مسیر مستقیم و قوس گوشه، سطوح ۱۳ کیلوهرتز برای فرکانس، و  $29/28 \text{ mm/min}$  برای سرعت پیشروی به عنوان سطوح بهینه این پارامترها استخراج شدند. چرا که این سطوح بار باقی‌مانده بیشتری روی مسیر مستقیم و قوس گوشه ایجاد کرده‌اند.

**۳-۴- بحث و بررسی نتایج مطالعه مرحله خشن‌کاری**  
نتایج آزمایش‌ها، به کمک نمودارهای آماری، میزان تأثیر پارامترهای فرکانس تخلیه و سرعت پیشروی بر روی پاسخ‌های  $y_2^{\text{cr}}$  و  $y_2^{\text{st}}$  تعیین شد. پارامتر فرکانس مشخص کننده تعداد جرقه (تخلیه) در واحد زمان می‌باشد. با فرض اینکه میزان ماده برداشت شده توسط هر جرقه ثابت و مشخص باشد با افزایش فرکانس تخلیه، میزان ماده برداشته شده در واحد زمان افزایش می‌یابد.

منفی بودند به جای پاسخ  $y_2^{\text{cr}}$ ، پاسخ  $\ln(-y_2^{\text{cr}})$  تحلیل شد. جدول ۷، تحلیل واریانس به دست آمده برای پاسخ  $\ln(-y_2^{\text{cr}})$  را نشان می‌دهد. این جدول نشان می‌دهد که هر دو پارامتر فرکانس و سرعت پیشروی معنی‌دار هستند ولی اثر متقابل آنها مؤثر نیست. معادله رگرسیونی ۳ ارتباط بین خروجی  $\ln(-y_2^{\text{cr}})$  با پارامترهای مؤثر را نشان می‌دهد.

$$\ln(-y_2^{\text{cr}}) = 2.02344 + 0.008028f - 0.03399S \quad (3)$$

ضرایب مدل رگرسیون (۳) در جدول ۸ و تحلیل واریانس این معادله در جدول ۹ نشان‌داده شده است. همچنین این دو جدول، شاخص‌های ارزیابی مدل رگرسیون و آماره‌های کفايت آن، برای پاسخ  $\ln(-y_2^{\text{cr}})$  را نشان می‌دهند.

از نمودارهای شکل ۱۰ مشخص است که در این مدل شرط مستقل بودن مقادیر باقی‌مانده به خوبی رعایت شده است و توزیع مقادیر باقی‌مانده از روند خاصی پیروی نمی‌کند. نمودار احتمال نرمال برای پاسخ  $\ln(-y_2^{\text{cr}})$  نیز دلالت بر نرمال بودن توزیع مقادیر باقی‌مانده دارد.

نمودار تأثیر پارامترهای فرکانس و سرعت پیشروی بر روی خروجی  $\ln(-y_2^{\text{cr}})$  در شکل ۱۱ نشان داده شده است. این

جدول ۷ تحلیل واریانس (ANOVA) برای پاسخ  $\ln(-y_2^{\text{cr}})$ 

P	F	Adj MS	Adj SS	Sq SS	DF	نام پارامتر
مقدار آماره F	مقدار آماره F	میانگین مربعات	مجموع مربعات	مجموع مربعات	درجه آزادی	
		تصحیح شده	تصحیح شده	دبaleای		
0/007	9/09	0/031739	0/063478	0/063478	۲	فرکانس تخلیه f
0/044	4/51	0/015744	0/031488	0/031488	۲	سرعت پیشروی S
0/301	1/43	0/004988	0/019952	0/019952	۴	فرکانس تخلیه f × سرعت پیشروی S
		0/003491	0/031418	0/031418	۹	خطا
				0/146337	۱۷	مجموع

$$R^2(\text{adj}) = 78/85$$

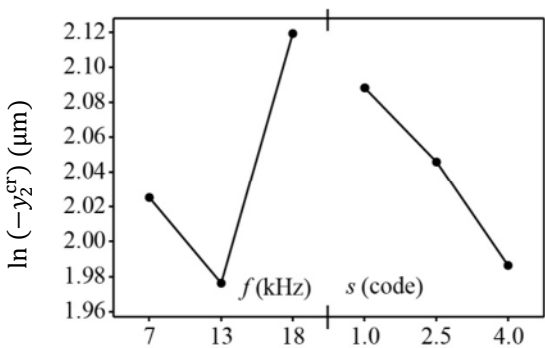
$$R^2 = 78/85$$

جدول ۹ تحلیل واریانس (ANOVA) مدل رگرسیون برای پاسخ  $\ln(-y_2^{\text{cr}})$ 

P	F	MS	SS	DF	نام پارامتر
مقدار احتمال	مقدار آماره F	میانگین مربعات	مجموع مربعات	درجه آزادی	مقدار آماره
0/030	4/47	0/027331	0/054662	۲	رگرسیون
					خطای مقادیر باقی‌مانده
		0/006112	0/091674	۱۵	
		0/146337	0/146337	۱۷	مجموع

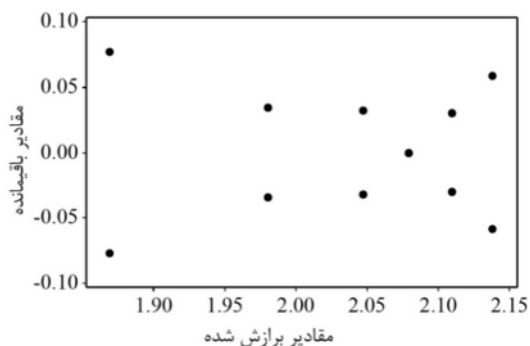
جدول ۸ ضرایب مدل رگرسیون برای پاسخ  $\ln(-y_2^{\text{cr}})$ 

P	T	خطای استاندارد	ضریب	نام پارامتر
			ضریب	
0/000	30/34	0/06669	2/02344	مقدار ثابت
0/069	1/96	0/004098	0/008028	فرکانس تخلیه f
0/039	-2/26	0/01505	-0/03399	سرعت پیشروی S

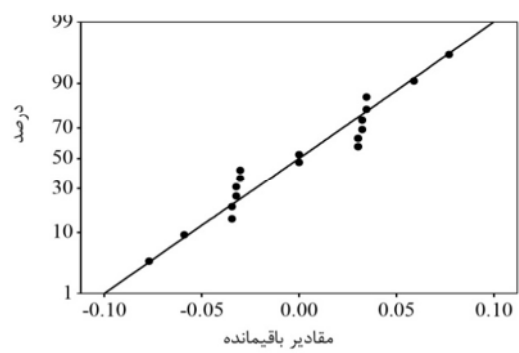


شکل ۱۱ نمودار تأثیر تغییر پارامترهای فرکانس و سرعت پیشروی بر روی پاسخ  $\ln(-y_2^{cr})$

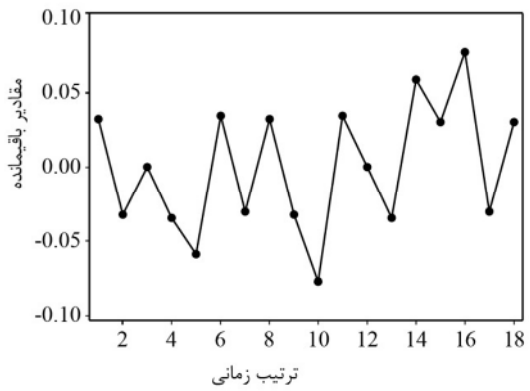
سطح جانبی قطعه (شیار برش) که در هنگام باربرداری، مقابله سطح جانبی سیم قرار می‌گیرد، با کاهش مقدار فرکانس تخلیه و افزایش سرعت پیشروی سیم میزان چگالی اصابت جرقه بر این سطح، یعنی سطح جانبی قطعه کار، (تعداد جرقه بر واحد سطح) کاهش می‌یابد و درنتیجه میزان بار باقیمانده افزایش می‌یابد. پس به طور کلی با کاهش مقدار فرکانس تخلیه و افزایش سرعت پیشروی سیم می‌توان میزان بار باقیمانده را افزایش داد. دیگر عامل مؤثر در تعیین میزان بار باقیمانده، پایدار و پیوسته بودن ماشین کاری است. در این تحقیق برای انعام آزمایش‌ها، سطوح پارامترها با توجه به محدودیت‌های ماشین و فرآیند انتخاب شده‌اند. انتخاب سطح نامناسب برای این پارامترها (نظیر کاهش بیش از اندازه فرکانس) باعث ایجاد برش ناپیوسته و ناپایدار می‌شود. انعام ماشین کار ناپیوسته و ناپایدار سبب افزایش ارتعاش سیم و درنتیجه افزایش برداشت ماده از سطح جانبی برش می‌شود. این مطلب را می‌توان به روشنی از نمودارهای حاصل از آزمایش‌ها در شکل‌های ۸ و ۱۰ مشاهده کرد. این نمودارها نشان می‌دهند که هم در روی مسیر مستقیم و هم در روی قوس گوش، سطح پایین فرکانس بار باقیمانده کمتری نسبت به سطح میانی آن ایجاد نموده است. با توجه به اینکه سطح پایین فرکانس برابر با حداقل مقدار ممکن انتخاب شده بود به نظر می‌رسد در این سطح فرکانس، ماشین کاری به صورت ناپیوسته و ناپایدار انجام شده است. همچنین این نمودارها این پیش‌بینی را تأیید می‌کنند که افزایش سرعت پیشروی باعث افزایش بار باقیمانده روی سطح جانبی شیار می‌شود. چنان‌که گفته شد با کنترل چگالی اصابت جرقه بر سطح جانبی قطعه کار می‌توان بار باقیمانده در روی



الف- مقادیر باقیمانده در برابر مقادیر برآورده شده برای  $\ln(-y_2^{cr})$



ب- نمودار احتمال نرمال برای پاسخ  $\ln(-y_2^{cr})$

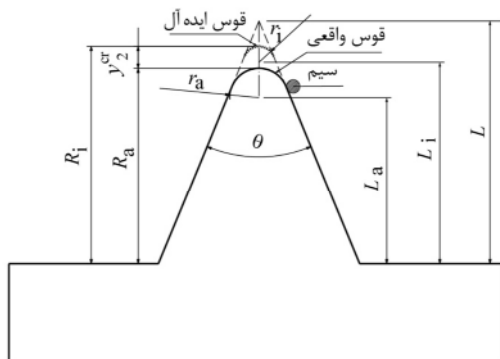


ج- نمودار ترتیب زمانی مقادیر باقیمانده برای پاسخ  $\ln(-y_2^{cr})$

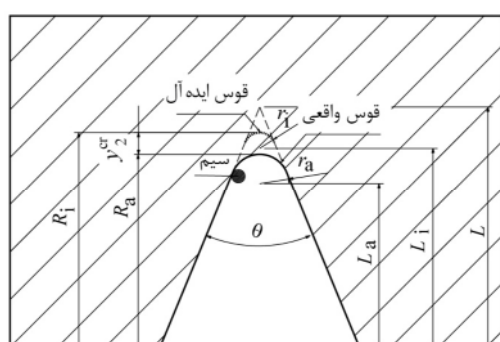
شکل ۱۰ نمودارهای فرض نرمال برای پاسخ  $\ln(-y_2^{cr})$

با انجام هر تخلیه الکتریکی، مقداری ماده از پیش روی سیم برداشته می‌شود و فاصله‌ی بین سیم و قطعه کار افزایش می‌یابد. برای جبران این فاصله، از پارامتر سرعت پیشروی کمک گرفته می‌شود. در حقیقت این پارامتر، سرعت جبران فاصله بین سیم و قطعه کار برای رسیدن به فاصله تعادلی است. افزایش سرعت پیشروی، سرعت جبران فاصله بین قسمت جلوی سیم و قطعه کار را افزایش داده، باعث حرکت سریع‌تر سیم روی مسیر برش می‌شود.

$$y_2^{\text{cr}} = \frac{(r_i - r_a)(1 - \sin \frac{\theta}{2})}{\sin \frac{\theta}{2}} \quad (7)$$

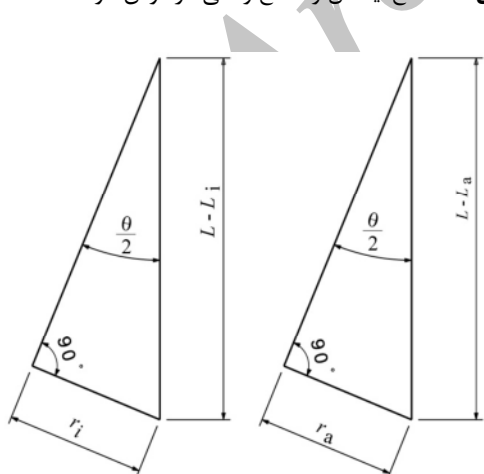


الف- گوشه کوچک- شعاع محدب



ب- گوشه کوچک- شعاع مقعر

شکل ۱۲ شعاع ایده‌آل و شعاع واقعی در قوس گوشه



شکل ۱۳ نمای هندسی زاویه گوشه

مسیر مستقیم و قوس را کنترل کرد ولی نتایج حاصل از آزمایش‌ها نشان می‌دهند که با کنترل چگالی اصابت جرقه نمی‌توان اختلاف بار باقی‌مانده مسیر مستقیم و قوس را به طور کامل از بین برد. این نتایج همچنین نشان می‌دهند که تأثیر کنترل پارامترهای مرحله خشن‌کاری روی بار باقی‌مانده مسیر مستقیم بیشتر از بار باقی‌مانده روی قوس است. نتایج آزمایش‌های این تحقیق مشخص نمودند که با بهینه‌سازی پارامترها در مرحله خشن‌کاری، بار باقی‌مانده روی قوس محدب بیش از ۲۰ درصد افزایش و درنتیجه خطای ماشین‌کاری کاهش یافته است.

با توجه به نتایج حاصل می‌توان نتیجه گرفت که با کنترل پارامترهای مراحل مختلف برش نمی‌توان اختلاف بار باقی‌مانده مسیر مستقیم و قوس را به طور کامل از بین برد. از این‌رو پیشنهاد می‌شود برای کاهش و حذف اختلاف بار باقی‌مانده مسیر مستقیم و قوس مرحله خشن‌کاری در یک برش یک مرحله‌ای بررسی شود.

## ۵- تحلیل هندسی برش گوشه‌های کوچک- شعاع

در برش چند مرحله‌ای قوس به وسیله واپرکات، زاویه گوشه ( $\theta$ ) با دقیق بسیار خوبی ماشین‌کاری می‌شود و همان‌گونه که در شکل ۱۲ نشان داده شده است، می‌توان گفت قوس همواره مماس بر دو ضلع زاویه است. بنابراین با داشتن زاویه گوشه، شعاع ایده‌آل قوس (شعاع برنامه NC مسیر) و با اندازه‌گیری مقدار بار باقی‌مانده روی قوس، شعاع واقعی قوس را به کمک روابط (۴) تا (۷) می‌توان محاسبه کرد.

با توجه به شکل ۱۲ می‌توان نوشت:

$$R_i - R_a = L_i - L_a + r_i - r_a \quad (4)$$

و از شکل ۱۳ نتیجه می‌شود:

$$L_i - L_a = \frac{r_a - r_i}{\sin \frac{\theta}{2}} \quad (5)$$

از جای‌گذاری (5) در (4) نتیجه می‌شود:

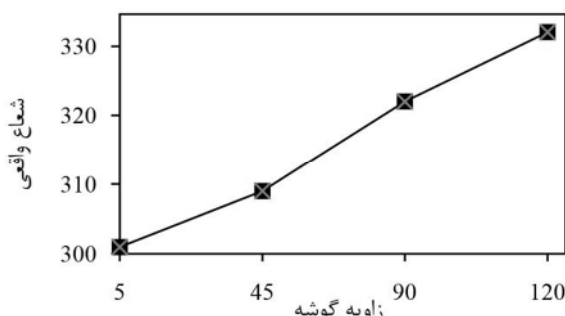
$$R_i - R_a = \frac{(r_a - r_i)(1 - \sin \frac{\theta}{2})}{\sin \frac{\theta}{2}} \quad (6)$$

با توجه به:  $y_2^{\text{cr}} = -(R_i - R_a)$ ، رابطه (7) به دست می‌آید.

داده‌های جدول ۱۰ نشان می‌دهند که بار باقیمانده در گوشه باعث افزایش شعاع گوشه گردیده است. همچنین این جدول مشخص می‌کند که تأثیر بار باقیمانده بر افزایش شعاع گوشه به اندازه زاویه گوشه بستگی دارد. همان‌گونه که از جدول ۱۰ و شکل ۱۶ مشخص است با افزایش زاویه گوشه از ۵° به ۱۲۰° درجه، بار باقیمانده از ۲۱/۹۲ به ۴/۹۵ میکرون کاهش و شعاع گوشه از ۳۰۱ به ۳۳۲ افزایش یافته است.

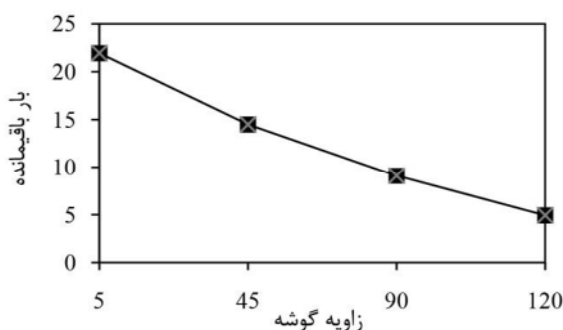


شکل ۱۴ نمایی از برش سه مرحله‌ای در روی قوس مقعر گوشه



شکل ۱۵ تأثیر زاویه گوشه بر اندازه شعاع مقعر گوشه

جدول ۱۰ مقادیر بار باقیمانده محاسبه شده					
۱۲۰	۹۰	۴۵	۵	θ (درجه)	
۳۳۲	۲۲۲	۳۰۹	۳۰۱	r <sub>a</sub> (μm)	
۴/۹۵	۹/۱۱	۱۴/۵	۲۱/۹۲	y <sub>2</sub> <sup>cr</sup> (μm)	



شکل ۱۶ تأثیر زاویه گوشه بر بار باقیمانده

در تمام آزمایش‌های این قسمت، زاویه گوشه و شعاع ایده‌آل قوس به ترتیب  $\theta = 45^\circ$  و  $r_i = 300 \mu\text{m}$  هستند.

بنابراین می‌توان خطای شعاع قوس را محاسبه نمود:

$$(8) \quad r_i - r_a = 0.62 y_2^{cr}$$

از رابطه (۸) نتیجه می‌شود که خطای شعاع قوس در این آزمایش‌ها به اندازه ۰.۶۲ بار باقیمانده روی قوس است.

## ۶- خطای شعاع گوشه‌های کوچک- شعاع مقعر

در این بخش گوشه‌های کوچک- شعاع مقعر و تأثیر زاویه گوشه روی بار باقیمانده در آنها مطالعه شده است. شکل ۱۴ نمایی از برش سه مرحله‌ای روی قوس مقعر گوشه را نشان می‌دهد.

### ۶-۱- طرح آزمایش و روش اندازه‌گیری

برای انجام آزمایش‌ها، شکل هندسی با گوشه‌های مقعر دارای زاویای  $5, 45, 90, 120^\circ$  و  $r_i = 300 \mu\text{m}$  انتخاب شد و با استفاده از تنظیمات پیشنهادی سازنده، جدول ۱، در سه مرحله (یک مرحله خشن و دو پرداخت) ماشین کاری شد [۱۴]. انتخاب  $r_i = 300 \mu\text{m}$  به دلیل استفاده از سیم به قطر ۰/۲۵ میلی‌متر بود تا سیم بتواند به راحتی چنین شعاعی را ایجاد نماید و محدودیتی برای حرکت سیم وجود نداشته باشد. در حین انجام آزمایش‌ها سعی شد تا شرایط محیطی پایدار و ثابت باشد. بعد از انجام آزمایش‌ها شعاع‌های واقعی ( $r_a$ ) ایجاد شده، به وسیله میکروسکوپ میتوتویو<sup>۱</sup> در شرایط اتاق تمیز اندازه‌گیری شد. شکل ۱۵ این مقادیر را نشان می‌دهد.

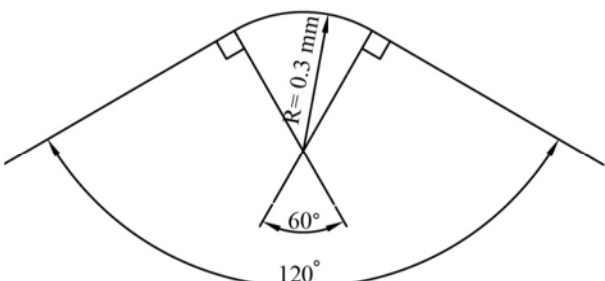
### ۶-۲- تجزیه و تحلیل نتایج مطالعه زاویه گوشه

شکل ۱۵ تأثیر زاویه گوشه بر اندازه شعاع‌های واقعی اندازه‌گیری شده در گوشه‌های مقعر را نشان می‌دهد. با افزایش زاویه گوشه، میزان انحراف شعاع گوشه از اندازه اسمنی (ایده‌آل) آن افزایش یافته است.

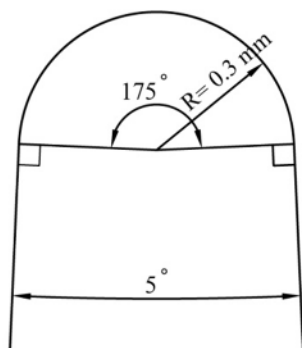
این نتایج نشان می‌دهند که همه شعاع‌های اندازه‌گیری شده از شعاع ایده‌آل بزرگتر هستند و با افزایش زاویه گوشه، شعاع اندازه‌گیری شده افزایش یافته است. با توجه به شکل ۱۱، رابطه هندسی (۷) بین شعاع واقعی و ایده‌آل گوشه و میزان بار باقیمانده (خطای برش) برقرار است. به کمک رابطه (۷) می‌توان میزان بار باقیمانده را برای هر یک از زوایای بالا محاسبه نمود. جدول ۱۰ این مقادیر را نشان می‌دهد.

1. Mitutoyo

متفاوت در این آزمایش‌ها، اضافه برش اعمال شده روی نیمی از گوشه‌ها بود.

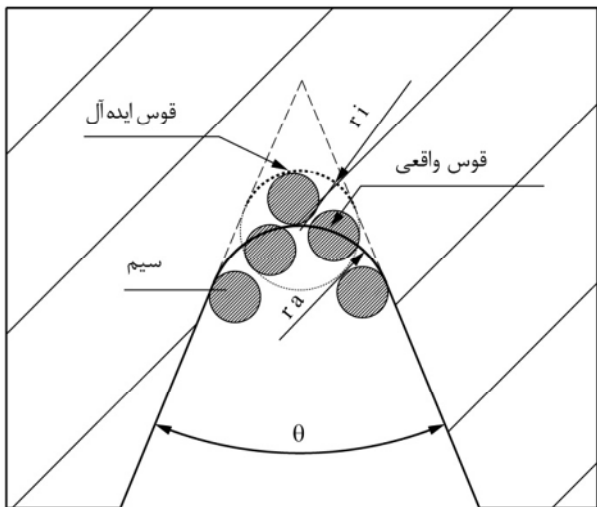


الف- در گوشه ۱۲۰ درجه



ب- در گوشه ۵ درجه

شکل ۱۷ زاویه گوشه و زاویه مرکزی قوس



شکل ۱۸ طرح یک اضافه برش برای بهبود دقیق قوس مقرر

جدول ۱۱ شعاع‌های گوشه بدست آمده از این آزمایش‌ها و

در تأیید رابطه (۷)، نتایج نشان می‌دهند که در زاویه گوشه بزرگتر تأثیر بار باقی‌مانده بر اندازه شعاع گوشه بیشتر است. بنابراین می‌توان نتیجه گرفت که با افزایش زاویه گوشه با وجود اینکه بار باقی‌مانده کاهش می‌یابد شعاع ایجاد شده در گوشه افزایش خواهد یافت چرا که در زاویه گوشه بزرگتر، زاویه مرکزی قوس کوچکتر و تغییر جهت سیم نرم‌تر است.

از شکل ۱۷ مشخص است که زاویه مرکزی قوس در هر گوشه مکمل زاویه آن گوشه است. بنابراین، هرگاه شعاع گوشه‌ها یکسان و زوایای آنها متفاوت باشند با افزایش زاویه گوشه، طول قوس در آن گوشه کاهش می‌یابد. جدول ۱۰ همچنین نشان می‌دهد که با افزایش زاویه گوشه انحراف شعاع گوشه از شعاع اسمی افزایش یافته است. پس در مجموع می‌توان نتیجه گرفت که با کاهش طول قوس، انحراف شعاع گوشه از شعاع اسمی افزایش می‌یابد.

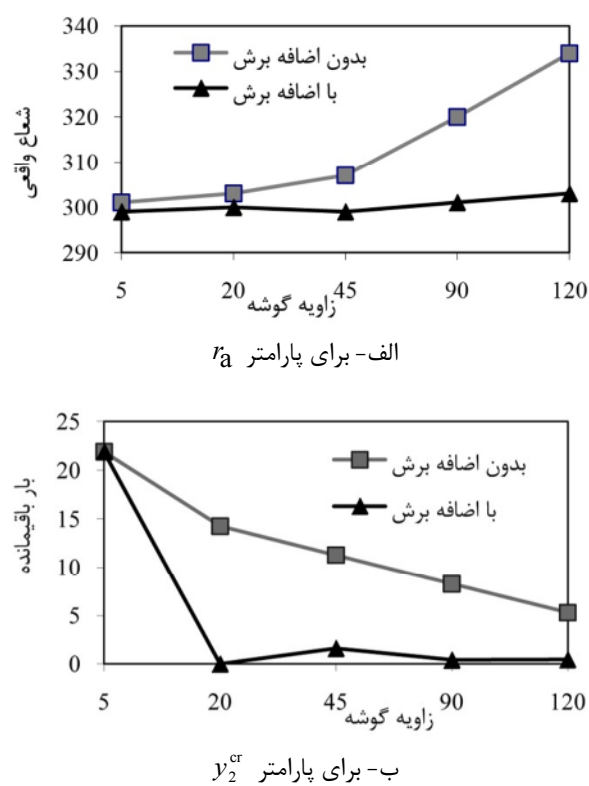
برای پیمودن شعاع گوشه، سیم باید نخست یک تغییر حرکت از خطی به دایره‌ای و سپس یک تغییر از حرکت دایره‌ای به خطی داشته باشد. همان‌گونه که آمد، به علت وجود نیروهای فرایندی نامتعادل و انعطاف‌پذیری سیم، هر تغییر جهت و نوع حرکت سبب خطای ماشین‌کاری است.

### ۶- بهبود دقیق قوس مقرر گوشه

در اینجا برای یکسان‌سازی طول قوس پیموده شده، کاهش بار باقی‌مانده روی قوس و کاهش انحراف شعاع واقعی از شعاع اسمی در گوشه‌های مقرر، یک اضافه برش (شکل ۱۸) پیشنهاد شده است.

برای بررسی تأثیر و اعتبار این اضافه برش، آزمایش‌های طرح و انجام شدند. در این آزمایش‌ها، شکل هندسی متقارن، مطابق شکل ۱۹ با زوایای گوشه ۵، ۴۵، ۲۰، ۹۰ و ۱۲۰ درجه و شعاع گوشه ۳۰۰ میکرون مورد مطالعه قرار گرفت. همانند قبل ماشین‌کاری در روی همه گوشه‌ها در سه مرحله و با استفاده از تنظیمات پیشنهادی سازنده انجام گرفت.

برای اینکه همه گوشه‌ها با شرایط یکسان‌کاری شوند قطعه مورد آزمایش مطابق شکل ۱۹ به صورت دوبل طراحی گردید و اضافه برش تنها در مرحله دوم برش روی گوشه‌های یک طرف اعمال شد در حالی که گوشه‌های طرف دیگر به صورت عادی ماشین‌کاری شدند. بنابراین تنها پارامتر



شکل ۲۰ نمودار مقایسه‌ای برای دو حالت استفاده از اضافه برش و عدم استفاده از آن

## ۷- نتیجه‌گیری

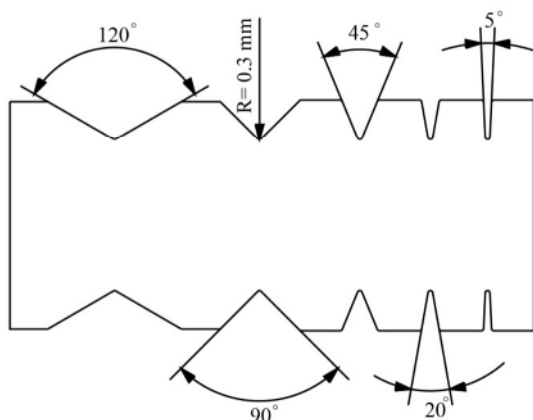
شناخت تأثیر دو پارامتر فرکانس تخلیه و سرعت پیشروی خشننگاری بر بار باقی‌مانده، روی مسیر مستقیم و قوس محذب گوشه، نشان می‌دهد که بهینه‌سازی این پارامترها می‌تواند بار باقی‌مانده روی قوس را بیش از ۲۰ درصد افزایش و درنتیجه خطای ماشین‌کاری را کاهش دهد.

مدل هندسی ارائه شده می‌تواند ارتباط میان بار باقی‌مانده، شعاع گوشه و زاویه گوشه را روشن سازد. یک اضافه برش می‌تواند دقیق‌ترین کاری شعاع در گوشه‌های مقعر را تا میزان قابل توجهی بهبود بخشد. در گوشه‌های محذب یا مقعر، همواره، شعاع ایجاد شده بیشتر از شعاع ایده‌آل است.

به طور کلی با کاهش فرکانس و افزایش سرعت پیشروی مقدار بار باقی‌مانده افزایش می‌باید و تأثیر کنترل چگالی اصابت جرقه روی بار باقی‌مانده مسیر مستقیم بیشتر از بار باقی‌مانده روی قوس است. ماشین‌کاری پایدار و پیوسته بر مقدار بار باقی‌مانده تأثیر می‌گذارد. شعاع واقعی قوس گوشه به کمک

مقادیر  $y_2^{cr}$  محاسبه شده مربوطه (از رابطه ۷) را نشان می‌دهد. به کمک داده‌های جدول ۱۱ نمودار مقایسه‌ای شکل ۲۰ برای دو پارامتر  $r_a$  و  $y_2^{cr}$  رسم شده است. همان‌طور که از این نمودارها مشخص است اضافه برش اعمال شده تأثیر مثبتی بر کاهش خطای داشته است و میزان انحراف شعاع گوشه از شعاع ایده‌آل در زاویه ۹۰ درجه از ۳۴ میکرون، در زاویه ۹۰ درجه از ۲۰ به ۱ در زاویه ۴۵ درجه از ۷ به ۱ و در زاویه ۲۰ درجه از ۳ به صفر رسیده است. در مجموع به کمک اضافه برش اعمال شده انحراف شعاع گوشه از شعاع ایده‌آل به طور متوسط حدود ۷۵ درصد کاهش یافته است.

بنابراین اگر در گوشه‌های کوچک-شعاع مقعر یک مسیر دایره‌ای کامل برای سیم در نظر گرفته شود طول قوس پیموده شده توسط سیم تقریباً مستقل از زاویه گوشه می‌شود و تأثیر تغییر زاویه بر روی خطای شعاع گوشه به طور قابل توجهی کاهش می‌یابد. لازم به ذکر است که با اعمال این اضافه برش در گوشه‌های کوچک-شعاع مقعر علاوه بر کاهش خطای شعاع گوشه، کیفیت سطح بهتری نیز حاصل می‌شود. زیرا، در عمل، اضافه برش باعث افزایش یک مرحله پرداخت کاری روی این گوشه‌ها می‌شود.



شکل ۱۹ شکل هندسی مورد استفاده در این بخش

جدول ۱۱ اندازه شعاع‌ها و مقادیر  $y_2^{cr}$  محاسبه شده برای آنها

استراتژی	۱۲۰	۹۰	۴۵	۲۰	۵	$\theta$ (درجه)	$r_a$ ( $\mu\text{m}$ )	$y_2^{cr}$ ( $\mu\text{m}$ )
بدون اضافه برش	۳۲۴	۳۲۰	۳۰۷	۳۰۳	۳۰۱	۱۲۰	۳۲۰	۳۰۷
	۵/۳	۸/۲۸	۱۱/۲۹	۱۴/۲۷	۲۱/۹	۹۰	۴۵	۲۰
با اضافه برش	۳۰۳	۳۰۱	۲۹۹	۳۰۰	۲۹۹	۴۵	۳۰۱	۲۹۹
	۰/۴۶	۰/۴۱	۱/۶۱	۰	۲۱/۹	۲۰	۰/۴۱	۱/۶۱

پهنهای ماشینکاری در مرحله خشن کاری ( $\mu\text{m}$ )	$k_0$	مقدار بار باقیمانده روی آن قوس قابل محاسبه است. شاید دستآورد اصلی این تحقیق آن باشد که مرحله‌ی خشن کاری عامل اصلی بی‌دقیقی‌ها در برش قوس‌ها و انحنایها است و به کمک کنترل پارامترهای فرایند نمی‌توان خطای برش قوس‌ها را به طور کامل حذف کرد.
عمق باربرداری مرحله پرداخت اول در برش سه مرحله‌ای ( $\mu\text{m}$ )	$k_{12}$	
عمق باربرداری مرحله پرداخت دوم در برش سه مرحله‌ای ( $\mu\text{m}$ )	$k_{22}$	
فاصله مرکز قوس واقعی تا سطح مبنا (mm)	$L_a$	
فاصله مرکز قوس ایده‌آل تا سطح مبنا (mm)	$L_i$	
افست خشن کاری در برش سه مرحله‌ای ( $\mu\text{m}$ )	$of_{02}$	زمان روشنی پالس (μs) $A$
افست پرداخت اول در برش سه مرحله‌ای ( $\mu\text{m}$ )	$of_{12}$	میانگین مربعات تصحیح شده $Adj\ MS$
افست پرداخت دوم در برش سه مرحله‌ای ( $\mu\text{m}$ )	$of_{22}$	مجموع مربعات تصحیح شده $Adj\ SS$
فاصله قله قوس واقعی تا سطح مبنا (mm)	$R_a$	ولتاژ سروو (ولتاژ گپ) ( $V$ ) $Aj$
فاصله قله قوس ایده‌آل تا سطح مبنا (mm)	$R_i$	آنالیز واریانس $ANOVA$
شعاع واقعی گوشه ( $\mu\text{m}$ )	$r_a$	ظرفیت خازن ( $\mu\text{F}$ ) $C$
شعاع ایده‌آل گوشه ( $\mu\text{m}$ )	$r_i$	ضریب فاکتورهای رگرسیون $Coef.$
شعاع سیم ( $\mu\text{m}$ )	$r_w$	درجه آزادی $DF$
ضریب تعیین	$R^2$	طراحی آزمایش‌ها $DOE$
ضریب تعیین تعدیل شده	$R^2(\text{adj})$	مقدار آماره $F$ $F$
کشش سیم (N)	$w_b$	فرکانس تخلیه (ثانیه/جرقه) $f$
سرعت تغذیه سیم (m/min)	$w_s$	گپ جرقه ( $\mu\text{m}$ ) $g$
بار باقیمانده بعد از مرحله خشن کاری در برش سه مرحله‌ای ( $\mu\text{m}$ )	$y_{02}$	فاصله راس زاویه تا سطح مبنا (mm) $L$
بار باقیمانده بعد از مرحله پرداخت اول در برش سه مرحله‌ای ( $\mu\text{m}$ )	$y_{12}$	مد ماشینکاری $M$
بار باقیمانده بعد از مرحله پرداخت دوم در برش سه مرحله‌ای ( $\mu\text{m}$ )	$y_{22}$	میانگین مربعات $MS$
بار باقیمانده بعد از مرحله پرداخت دوم در برش سه سه مرحله‌ای در روی قوس گوشه ( $\mu\text{m}$ )	$y_2^{\text{cr}}$	افست سیم ( $\mu\text{m}$ ) $of$
بار باقیمانده بعد از مرحله پرداخت دوم در برش سه سه مرحله‌ای در روی مسیر مستقیم ( $\mu\text{m}$ )	$y_2^{\text{st}}$	مقدار احتمال $P$
زاویه گوشه (درجه)	$\theta$	قررت تخلیه الکتریکی (A) $P$
		سرعت پیشروی (mm/min) $S$
		ریشه میانگین مربعات $S$
		مجموع مربعات $SS$
		مجموع مربعات دنباله‌ای $Seq.\ SS$
		خطای استاندارد ضرایب SE Coef.
		مقدار آماره T $T$
		ولتاژ مدار باز (v) $V$
		بار باقیمانده ( $\mu\text{m}$ ) $y$
		گپ جرقه در مرحله خشن کاری ( $\mu\text{m}$ ) $g_0$
		گپ جرقه در مرحله پرداخت اول ( $\mu\text{m}$ ) $g_1$
		گپ جرقه در مرحله پرداخت دوم ( $\mu\text{m}$ ) $g_2$

## ۹- مراجع

- [1] Kalpakjian, S., Schmid, S. R., *Manufacturing, Engineering and Technology*, 5th Ed., Upper Saddle River, NJ, Prentice Hall, 2005.
- [2] Hsue, W. J., Liao, Y. S., Lu, S. S., “Fundamental Geometry Analysis of Wire Electrical Discharge Machining in Corner Cutting”, *Int J. Mach Tools*

- [10] Han, F., Zhang, J., Soichiro, I., "Corner Error Simulation of Rough Cutting in Wire EDM", *Precis Eng.*, Vol. 31(4), 2007, 331–336, DOI:10.1016/j.precisioneng.2007.01.005
- [11] Han, F., Cheng, G., Feng, Z., Isago, S., "Thermo-Mechanical Analysis and Optimal Tension Control of Micro Wire Electrode", *Int J Mach Tools Manuf.*, Vol. 48(7-8), 2008, pp. 922-931.
- [12] Dodun, O., Gonçalves-Coelho, A. M., Slătineanu, L., Nagît, G., "Using Wire Electrical Discharge Machining for Improved Corner Cutting Accuracy of Thin Parts", *Int J Adv Manuf Technol.*, DOI 10.1007/s00170-008-1531-4
- [13] ASM Handbook Committee, *ASM Handbook*, Vol. 4th, Heat Treating, 1991.
- [14] User Manual ROBOFIL 200, *Charmilles Technologies*, Switzerland, Charmilles Co.,1989.
- [15] Montgomery, D. C., *Design and Analysis of Experiments*, New York, Wiley, 2001.
- [16] Chelladurai, H., Jain, V. K., Vyas, N. S., "Development of a Cutting Tool Condition Monitoring System for High Speed Turning Operation by Vibration and Strain Analysis", *Int J Adv Manuf Technol.*, Vol. 37(5-6) , 2008, pp. 471-485. DOI 10.1007/s00170-007-0986-z
- [17] Pradhan, M. K., Biswas, C. K., "Neuro-Fuzzy and Neural Network-Based Prediction of Various Responses in Electrical Discharge Machining of AISI D2 Steel", *Int J Adv Manuf Technol.*, Vol. 50(5-8), 2010, pp. 591-610. DOI 10.1007/s00170-010-2531-8
- [18] Jain, V. K., Mote, R. G., "On the Temperature and Specific Energy During Electro Discharge Diamond Grinding (EDDG)", *Int J Adv Manuf Technol.*, Vol. 26(1-2), 2005, pp. 56-67. DOI 10.1007/s00170-003-1983
- [19] Manuf, Vol. 39(4), 1999, pp. 651–667.
- [20] Sanchez, J. A., Rodil, J. L., Herrero, A., De Lacalle, L. N. L., Lamikiz, A., "On the Influence of Cutting Speed Limitation on the Accuracy of Wire-EDM Corner-Cutting", *J Mater Process Technol.*, Vol. 182(1-3), 2007, pp. 574-579.
- [21] Dekeyser, W. L., Snoeys, R., "Geometrical Accuracy of Wire-EDM", *9th Int. Symp. on ElectroMachining (ISEM-9)*, 1989, pp. 226-232, Japan.
- [22] Hsue, W. J., Liao, Y. S., Lu, S. S., "A Study of Corner Control Strategy of Wire-EDM Based on Quantitative MRR Analysis", *Int J Electr Machining*, No.4, 1999, pp. 33-39.
- [23] Obara, H., Kawai, T., Ohsumi, T., Hatano, M., "Combined Power and Path Control Method to Improve Corner Accuracy of Rough Cuts by WireEDM (1st Report)", *Int J Electr Machining*, Vol. 8, 2003, pp. 27-32.
- [24] Obara, H., Kawai, T., Ohsumi, T., Hatano, M., "Combined Power and Path Control Method to Improve Corner Accuracy of Rough Cuts by WireEDM (2nd Report)", *Int J Electr Machining*, Vol. 8, 2003, pp. 33-8.
- [25] Sanchez, J. A., De Lacalle, L. N. L., Lamikiz, A., "A Computer Aided System for the Optimization of the Accuracy of the Wire Electro-Discharge Machining Process" *Int J of Comp Integrated Manufact.*, Vol. 17(5), 2004, pp. 413-420, DOI:10.1080/09511920310001626590
- [26] Mingqi, L., Minghui, L., Guangyao, X., "Study on the Variations of Form and Position of the Wire Electrode in WEDM-HS", *Int J Adv Manuf Technol.*, Vol. 25, 2005, pp. 929–934, DOI: 10.1007/s00170-003-1915-4